

λ -최적실험계획의 특성에 대한 추가적인 연구¹⁾

김영일²⁾

Abstract

The characteristics of λ -optimality are investigated with respect to other experimental design's criteria, D-and G-optimality. The comparisons are based on D-, and G-, and λ -efficiencies using the Beta(p,q) distribution as a weighting function for λ -optimality. Results indicate that serious consideration should be given to the λ -optimality criterion especially when the error variance function is not homogeneous.

1. 소개 및 표현방법

관측치, $y(x)$ 는 다음의 선형모형을 통하여 이루어진다고 가정한다.

$$y(x) = fT(x)\theta + \varepsilon \quad (1)$$

여기서 θ 는 R^p 공간의 미지의 모수 벡터이며 x 는 폐구간의 실험영역, $\chi = [-1,1]$ 에서의 요소이며, $f(x)$ 는 가정된 반응함수의 형태에 의존되는 $p \times 1$ 벡터이며 χ 에서 연속이다. 오차들 $\{\varepsilon\}$ 은 평균 0을 갖고 있으며 독립이다. 그리고 또한 개개의 오차의 분산인 v_i 는 x_i 의 함수로 가정을 하고, $v = \omega^{-1}(x)$ 로 표기한다. 앞으로는 $\omega(x)$ 와 $\omega^{-1}(x)$ 는 각각 효율함수 및 오차함수로 불리도록 한다. 실험 계획문제는 실험영역, χ 에서 벡터 x 를 선택하는 문제이다. 그리고 어떤 주어진 설정된 의미에서 이러한 벡터들로서 형성된 실험계획이 최적이 될 수 있게끔 하는 것이 최적실험계획이다. 이러한 아이디어는 쉽게 확률을 이용한 실험계획으로 연장할 수 있다. 즉 실험계획문제는 (f, χ, ω) 에 대한 확률적인 실험계획 $\xi \in E_\chi$ 의 선택이라 할 수 있다.

식 (1)에 관련하여 다음과 같은 정보행렬을 정의할 수 있다.

$$M(\xi) = \int_{\chi} \omega(x)f(x)fT(x)d\xi(x)$$

정의 1. 실험계획 ξ_D 는 아래 조건이 만족할 때 D-최적이라 한다.

$$\max_{\xi \in E_\chi} |M(\xi)| = |M(\xi_D)|.$$

1) 본 연구는 1995년도 중앙대학교 학술연구비 지원에 의해 수행되었음.

2) (456-756) 경기도 안성군 대덕면 내리 산 40-1 중앙대학교 산업정보학과

정의 2. 실험계획 ξG 는 아래 조건이 만족할 때 G-최적이라 한다.

$$\min_{\xi \in E_x} \max_{x \in \chi} d(x, \xi) = \max_{x \in \chi} d(x, \xi_G)$$

여기서 $d(x, \xi) = fT(x)M^{-1}(\xi)f(x)$ 은 실험계획 ξ 의 주어진 x 값에서의 예측치의 분산의 함수이다.

정의 3. 실험계획 ξI 는 아래 조건이 만족할 때 $I\lambda$ -최적이라 한다.

$$\min_{\xi \in E_x} \int_Q d(x, \xi) d\lambda(x) = \int_Q d(x, \xi_I) d\lambda(x)$$

여기서 Q 는 실험계획자가 λ 라는 가중치함수를 설정할 수 있는 영역을 말한다. 그러나 꼭 Q 가 실험계획영역인 χ 와 일치할 필요는 없다.

최적실험계획에서는 D-및 G-기준이 많이 쓰이는데, 이의 한 이유로서 등분산 오차함수인 ($\omega(x) = 1$)인 경우 이 두 기준의 동치를 들 수 있다. 그러나 이분산오차함수인 경우에는 동치정리가 성립되지 않기 때문에 이러한 장점은 소멸한다. 최근에 Wong과 Cook(1992)은 위에서 제시한 G-최적성을 위시한 일반적인 Mini-Max 접근방법을 이용한 실험계획을 연구하였다. 그러나 일반적으로 이분산오차함수인 경우의 G-최적은 최적의 확인절차가 복잡한 반면 $I\lambda$ -최적은 간편하다.

정의 4. D-최적실험계획 ξD 를 기준으로 실험계획 ξ 의 D-효율성은 다음과 같다.

$$D(\xi) = \{\det M(\xi_d)^{-1} \det M(\xi)\}^{\frac{1}{p}}.$$

정의 5. G-최적실험계획 ξG 을 기준으로 실험계획 ξ 의 G-효율성은 다음과 같다.

$$G(\xi) = \max_{x \in \chi} d(x, \xi_G) / \max_{\xi \in \chi} d(x, \xi).$$

정의 6. $I\lambda$ -최적실험계획 ξI 를 기준으로 실험계획 ξ 의 $I\lambda$ -효율성은 다음과 같다.

$$I_\lambda(\xi) = \int_Q d(x, \xi_I) d\lambda(x) / \int_Q d(x, \xi) d\lambda(x)$$

실험계획자가 예측치의 분산함수, $d(x, \xi)$ 의 가중치를 반영하기 위한 함수로 다양한 함수형태를 제시하는 Beta(p,q)함수를 생각할 수 있음은 이미 본인이 밝힌 바 있다(1993).

$$\lambda'_{p,q}(x) = 1/(b-a)^{p+q-1} \Gamma(p+q)/\Gamma(p)\Gamma(q) (x-a)^{p-1} (b-x)^{q-1} : \\ a < x < b, \quad p > 0, \quad q > 0$$

여기서 $\lambda'_{p,q}(x)$ 는 $d\lambda'_{p,q}(x)/dx$ 를 의미한다.

최적실험기준들간의 비교는 어렵기도 하거니와 비교 자체이외의 다른 생산적인 의미를 갖지 않을 수 있다(1975, Kiefer). 특수한 경우를 제외하면 질적인 평가도 제한적인 범위내에서 제시되는 예의 범위에서만 받을 수 있다. 그럼에도 불구하고 이러한 비교는 사용자로 하여금 최적기준의 특성들을 직접적으로 비교하여 주는 장점을 갖고 있기 때문에 때때로 시도되고 있다. 2절 및 3절에서는 실험계획자들이 흔히 쓰는 다항회귀모형을 기준으로 I_λ-최적기준의 특징을 파악하고자 한다. (참고로 Beta(p,q)의 특성상, $p > q$ ($p < q$)면 영역 오른쪽 (왼쪽)에 더 많은 가중치를 두는 형태가 발생하고 $p=q=1$ 인 경우는 일양함수, $p=q<1$ 이면 양극에 가중치를 두는 함수 $p=q>1$ 이면 영역 중심에 가중치를 두는 형태가 발생한다.)

2. Beta(p,q)의 p와 q가 같고 오차가 등분산인 경우

2.1 다항회귀모형에서의 I_λ-최적의 D-(G-)효율성: $p=q=1$ 인 경우

가중치 함수인 Beta함수가 $\Omega = [-1,1]$ 에서 $p=q=1$ 인 일양함수일 때 $fT(x) = (1,x,..,x^n)$ 이면 표 1에서와 같이 각각의 질량과 효율성을 계산할 수 있는데 먼저 n차 다항함수인 경우 D-최적의 I_λ-효율성은 n이 2에서 3으로 갈때는 떨어지지만 4에서 5로 갈때는 약간 올라감을 알 수 있다. (n이 1인 경우는 D-최적이 바로 I_λ-최적이 되기 때문에 제외시켰음). I_λ-최적의 D-효율성은 90% 이상을 상회하고 있고 G-효율성은 n이 커짐에 따라 급격히 감소함을 알 수 있다. 이는 후에도 지적이 되지만 $p=q=1$ 인 경우는 I_λ-최적과 D-최적의 연관성이 전반적으로 G-최적에 비해 높다는 암시가 될 수도 있다. Atwood(1969)에 의하면 주어진 실험계획의 D-효율성은 G-효율성에 비해 항상 크거나 같다고 하였기 때문에 만약 n이 불확실한 경우에는 G-효율성을 높이는데 실험계획의 촍점을 맞추는 모델 로버스트적인 실험계획이 필요하다고 생각된다. 이에는 Cook과 Nachtsheim(1982)의 연구를 예로 참조할 수 있다.

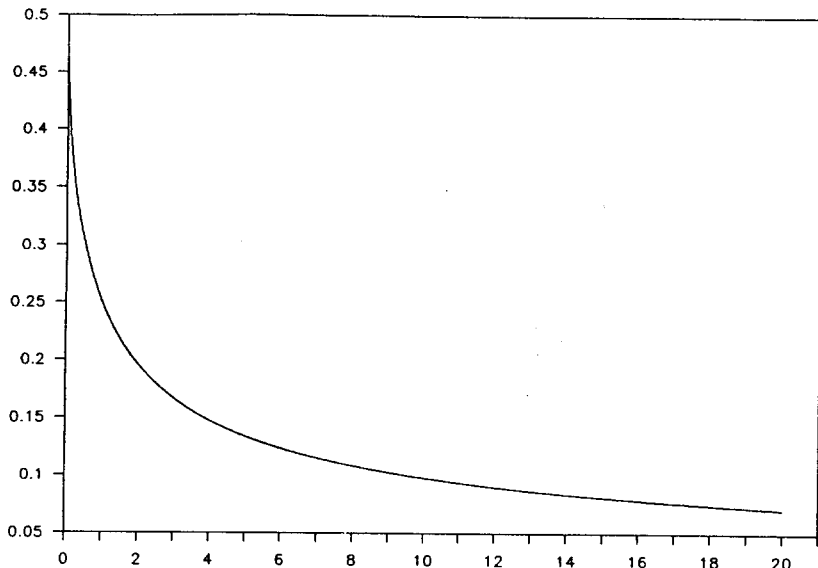
<표 1> I_λ-최적의 질량 및 효율성
(I_λ-최적의 질량: $p=q=1$)

$n=2$ (Quadratic)	$\xi(\pm 1) = 0.25$	$\xi(0) = 0.5$
$n=3$ (Cubic)	$\xi(\pm 1) = .154$	$\xi(\pm 0.4467) = .346$
$n=4$ (Quartic)	$\xi(\pm 1) = .107$	$\xi(\pm 0.6543) = .250$
$n=5$ (Quintic)	$\xi(\pm 1) = .0797$	$\xi(\pm 0.765) = .1903$
	$D(\xi_\lambda)$	$G(\xi_\lambda)$
$n=2$ (Quadratic)	94.49%	75.00%
$n=3$ (Cubic)	92.36	61.80
$n=4$ (Quartic)	91.43	53.60
$n=5$ (Quintic)	90.99	47.90
		$I(\xi_D)$
		88.88%
		87.21
		87.02
		87.20

2.2 이차형식의 회귀모형에서의 $I\lambda$ -최적의 D-(G-)효율성: $p=q$ 인 경우

2.2.1 질량의 변화

$I\lambda$ -최적은 이차형식의 회귀모형인 경우 ($p=q=1$) $\xi(\pm 1) = 1/4$, $\xi(0) = 1/2$ 을 배치한다(표 1참조). $p=q$ 가 1보다 커지면 점점 중앙에 더 많은 질량을 배치하고 $p=q$ 가 1보다 작아지면 $\xi(0) = 1/2$ 에서 작아짐을 알 수가 있다. 이에 착안하여 D-최적에 가장 가까운 $p=q$ 을 수치해석적인 방법(분석적인 방법으로는 해가 불가능)을 통하여 $p=q$ 의 값은 약 .33임이 됨을 알 수 있는데 여기에서는 $p=q$ 가 0에서 멀어짐과 동시에 $\xi(\pm 1)$ 의 값이 어떻게 변하는지 그림을 통하여 알아 보았다.



<그림 1> $p=q$ 가 변함에 따른 $x=-1$ 에서의 질량 : 이차형식 회귀모형 : 등분산오차함수

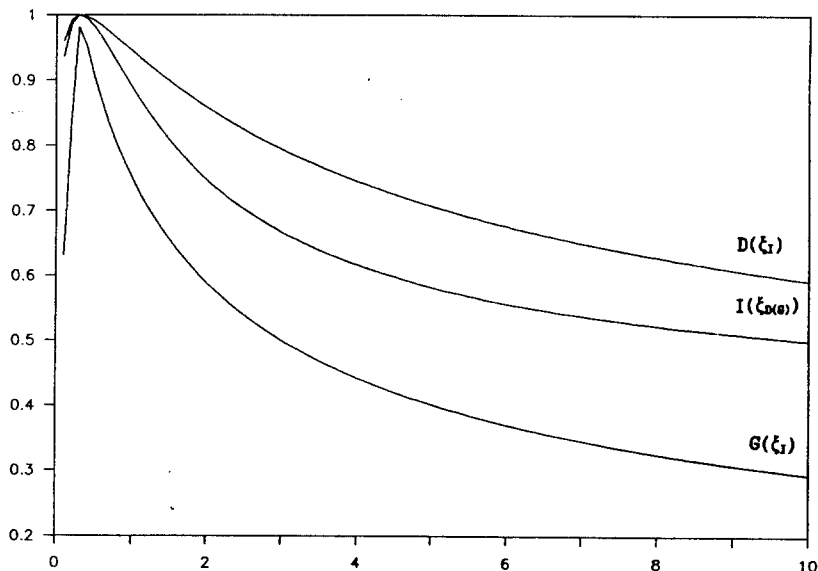
$p=q$ 의 값이 .33을 기준으로 $\xi(\pm 1)$ 의 값은 $1/3$ 을 갖고 있음을 확인 할 수 있다. 즉 D-최적은 $I\lambda$ -최적의 관점으로 보았을 때는 양극점 -1과 1의 주위에 가중치를 부여하는 실험기준임을 알 수 있다. 그리고 특이할 만한 사항은 $p=q$ 가 커짐과 동시에 $\xi(\pm 1)$ 의 값은 급격하게 질량의 감소를 가져다 주지만 $p=q$ 가 어느 정도 커지면 $\xi(\pm 1)$ 의 값은 안정적인 최소한의 값을 유지하고자 한다. 물론 p 가 무한대로 가까워지면 $\xi(\pm 1)$ 의 값은 0에 근접하겠지만 p 가 20주위의 값이라도 대체로 0.05 이상의 값을 유지하려고 한다. 이의 의미는 실질적으로 $I\lambda$ -최적의 실험기준을 쓰고 실험영역중심에 집중적으로 가중치를 행사한다 하더라도 양극점에서의 질량은 $p=q=10$ 을 기준으로 총20%는 남겨두어야 함이 바람직하다고 볼 수 있다.

이러한 분석은 3차다항식의 회귀모형이상에서는 수학적인 계산과정의 복잡성때문에 어려움이 많다. 그러나 $p=.33$ 을 이용한 $I\lambda$ -최적의 질량을 3차다항식의 회귀모형에 대해 계산하여 보아도 역시 이차형식의 회귀모형의 경우와 마찬가지로 D-최적과 ($\xi(\pm 1) = \xi(\pm 1/\sqrt{5}) = 1/4$) 거의 일치하는 것을 알 수 있다. 이를 바탕으로 추정하건데 다항식의 회귀모형을 모델로 $I\lambda$ -최적을 설정하고 그리고 대칭인 가중치 함수를 염두에 두면 $p=q=.33$ 을 기준으로 D-최적과 비교하면 될 것이고

$p=q$ 가 불확실한 경우에는 일양함수인 경우에 D-효율성이 90%이상임을 기억하면 $p=q=1$ 도 좋은 기준이 될 것이다.

2.2.2 $p=q$ 가 변하는 경우 이차형식의 회귀모형에서의 I_λ -최적의 D-(G-) 효율성

그림 2는 $p=q$ 가 0에서 커짐과 동시에 I_λ -최적의 D-효율성과 G-효율성이며 D-(G)최적의 I_λ -효율성이다. 후자인 경우는 오차가 등분산이므로 D-와 G-의 구분이 필요치 않는다. 결과는 2.1에서 논의되었던 내용과 유사하다. I_λ -최적의 D-효율성과 I_λ -최적의 G-효율성 사이에 D-(G)최적의 I_λ -효율성이 위치하고 있다. 그리고 I_λ -최적의 D-효율성은 $p=q$ 가 약 6이상을 넘어서면 70%이하로 떨어짐을 알 수 있고 I_λ -최적의 G-효율성은 40%선까지 떨어진다. 이로보아 이차형식의 회귀모형에서 $p=q$ 가 불확실하게 설정되는 상황에서는 효율성면에서 문제가 있다고 보여진다. 이러한 경우에는 등분산의 D-와 G-최적의 동치를 감안하여 D-최적을 선택하는 것도 바람직 할 수 있다.



<그림 2> $p=q$ 가 변함에 따른 효율성 : 이차형식 회귀모형 : 등분산오차함수

3. 오차가 이분산인 경우($\omega(x) \neq 1$)

3.1 이분산오차함수와 Beta(p,q)에서의 p 및 q의 관계

$p=q$ 가 같은 경우는 단순회귀모형이나 이차형식의 회귀모형에서 이미 그 특성을 알아 보았으나 p 와 q 가 같지 않은 경우는 복잡한 양상을 띤다. 이차형식의 회귀모형에서는 중간반향점이 더 이상 0이 되지 않음으로 분석적인 방법으로서는 이분산 오차함수와의 관계를 따질 수 없게 되어 여기서는 단순선형회귀식만을 갖고 분석하고자 한다.

오차항에 대한 분산의 지식은 다음과 같다고 가정을 하자. 제일 작은 분산의 값과 제일 큰 값의 비는 고정된 값 $\gamma > 1$ 이면 실험영역 x 에서는 분산은 선형으로 증가하고 $0 < \gamma < 1$ 이면 실험

영역 $\chi = [-1,1]$ 에서는 분산은 감소한다. 이를 수학적으로 규정하면 $\omega-1(x) \propto (\gamma-1)x + (\gamma+1)\circ$ 이다. 등분산($\gamma=1$)일 경우 문제의 단순성을 위하여 $\omega-1(x) = [(\gamma-1)x + (\gamma+1)]/2$ 로 한다.

정리 1. $fT(x) = (1,x)$, Beta(p,q)이면 $x=-1$ 에서의 $I\lambda$ -최적의 질량, $\xi(-1)$ 과 p 와 q 는 다음의 관계가 성립한다.

$$(p^2+p)/(q^2+q) = (\xi(-1)-1)2/\xi(-1)2$$

증명. Fedorov(1972)의 동치정리를 이용하면 된다.

정리 1에서 당연히 $p=q$ 이면 단순회귀식에서의 $I\lambda$ -최적은 D-최적과 같아 지지만 $p>q$ 이면 가중치가 실험영역 왼쪽에 쏠림으로 $x = 1$ 에 .5보다큰 질량이 부여되고 $p < q$ 이면 그 반대이다. 이러한 맥락에서 위에서 정의한 이분산의 경우의 G-최적의 $x=-1$ 과 1에서의 질량은 각각 $1/(\gamma+1)$, $\gamma/(\gamma+1)$ 임을 비교하면 p 와 q 의 변화에 따른 이분산 G-최적의 상관성을 따질 수 있을 것이다. 예를 들어 $p=5$ 와 $q=2$ 인 경우는 계산에 의해 $\gamma = 2.236$ 에 해당이 된다고 할 수 있다.

3.2 단순선형회귀식에서 $I\lambda$ -최적의 특성 ($p=q$ 인 경우)

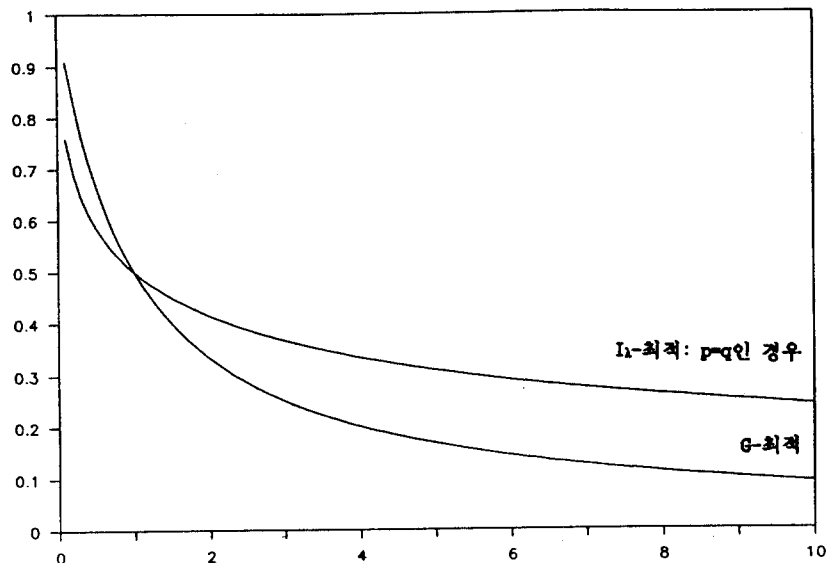
오차가 이분산인 경우는 위의 p 와 q 가 다른 경우와 마찬가지로 이차형식의 회귀모형에서는 중간반힙점이 0이 아니므로 분석적인 방법으로서는 $I\lambda$ -최적의 해를 일반화시키기 어렵기 때문에 단순 선형회귀식에 국한하여 특징을 살피기로 하자. 그러나 설사 단순 선형회귀식이라 할지라도 이분산과 p 와 q 가 다른 경우가 흔재되어 있는 경우는 실용성의 문제상 제외키로 한다.

정리 2. 단순선형식에서의 오차함수, $\omega-1(x) = [(\gamma-1)x + (\gamma+1)]/2$ 이면 γ 에 따른 $I\lambda$ -최적의 $x = \pm 1$ 에서의 질량, $\xi(\pm 1)$ 은 p 와 q 가 같은 경우는 다음과 같다.

$$\xi(-1) = (\gamma\gamma-1)/(\gamma-1) \text{ 및 } \xi(1) = (\gamma-\gamma\gamma)/(\gamma-1)$$

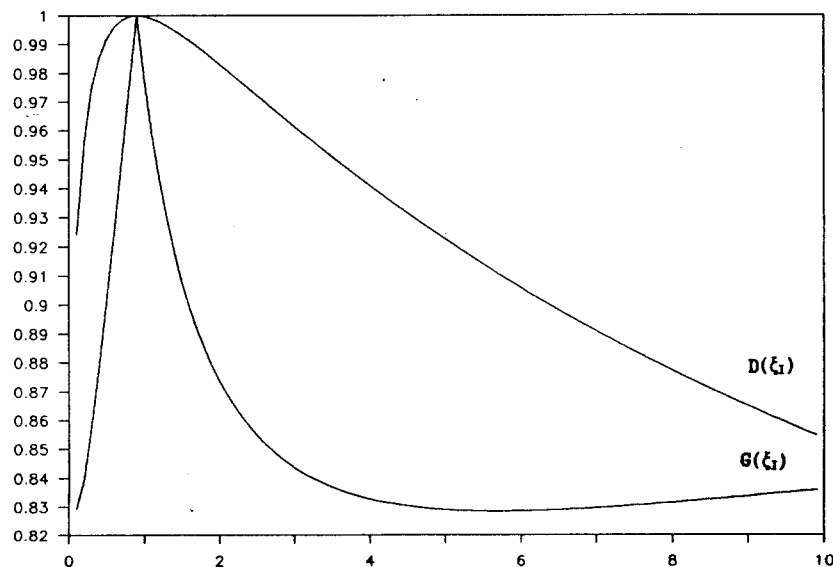
예를 들어 γ 가 4이면 $x=-1$ 에서의 질량은 $1/3$ 이다. 이는 이분산 G-최적실험기준일 때 $\gamma=2$ 인 경우에 해당한다.

정리 2를 이용하여 그림 3에서는 $x=-1$ 에서의 질량을 G-최적의 $\xi(-1)$, $1/(\gamma+1)$ 과 비교하여 보았다. $I\lambda$ -최적의 특징으로서 이분산하에서는 p 와 q 가 같은 경우 $p=q < 1$ 인 구간에서는 $I\lambda$ -최적의 $x=-1$ 에서의 질량이 G-최적의 질량보다는 상대적으로 작고 전구간에서의 질량의 감소율은 완만함을 알 수 있다.



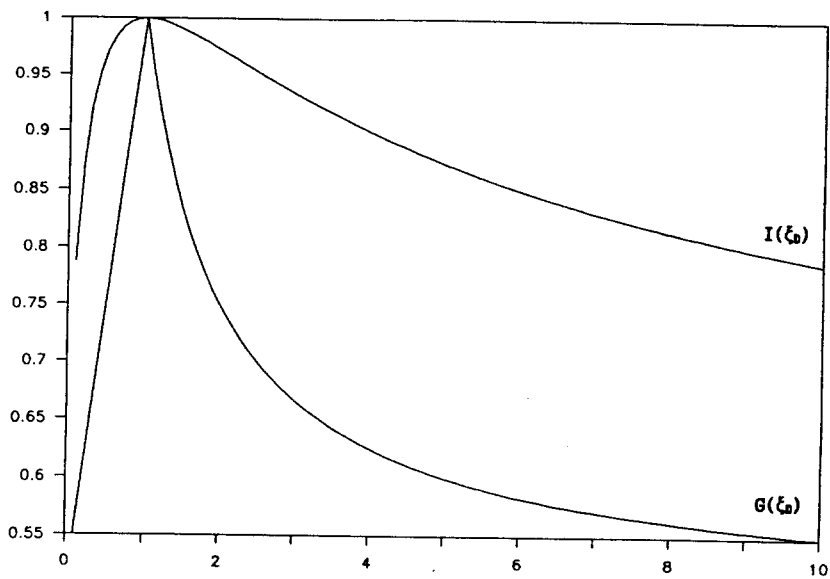
<그림 3> γ 가 변함에 따른 $x=-1$ 에서의 질량 : 단순선형 회귀모형

그림 4에서는 I_λ -최적의 D-효율성 및 G-효율성을 계산하였다. 80%이상의 효율성을 유지하며 γ 가 커지면 G-효율성은 상승함을 알 수 있다. γ 가 커지면 이분산 G-최적이나 I_λ -최적이나 다같이 $x=1$ 에 질량을 치우치기 때문이다.

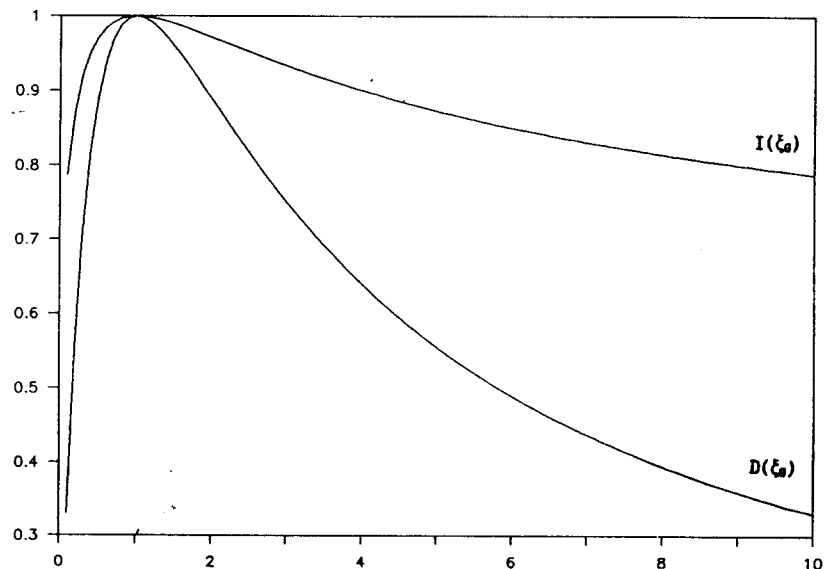


<그림 4> γ 가 변함에 따른 I_λ -최적의 효율성 : 단순선형 회귀모형 : $p=q$

그림 5에서는 D-최적의 $I\lambda$ -효율성 및 G-효율성, 그리고 그림 6에서는 이분산 G-최적의 D-효율성 및 $I\lambda$ -효율성을 γ 가 변화함에 따라 그려보았다.



<그림 5> γ 가 변함에 따른 D-최적의 효율성 : 단순선형 회귀모형 : $p=q$



<그림 6> γ 가 변함에 따른 G-최적의 효율성 : 단순선형 회귀모형 : $p=q$

그림 4의 80%효율성에 비해 그림 5에서는 γ 가 커짐에 따라 G-효율성이 55% 및 그림 6에서는 D-효율성이 30% 수준으로 떨어짐을 알 수 있다. 이분산 오차함수인 경우는 p 와 q 가 같고 단순 선형회귀 모형인 경우 I_λ -최적이 효율성면에서 D-최적이나 G-최적보다 나을 수도 있다는 반증이다. 이상의 결과는 단순선형회귀모형에서 얻은 제한적이기 하지만 이차형식의 선형회귀모형에서도 통용될 수 있는지 여부는 추후 수치적인 확인작업이 이루어져야 하겠다.

4. 결론

이상 단순선형 및 이차형식의 선형회귀모형을 갖고 지금까지 그 실용성이 잘 알려져 있지 않은 I_λ -최적실험기준의 특징을 본인의 1993년 논문과는 다른 각도에서 알아보았다. Wong과 Cook(1992)이 제시한 이분산 G-최적 실험기준과 비교하여 I_λ -최적의 특성을 Beta분포를 가정한 가중치함수를 이용하여 설명하였으며 그리고 각각의 D-, G- 그리고 I_λ -효율성을 간단한 예제를 통한 제한적인 결과이지만 첨부하여 사용자로 하여금 특징을 이해케 하였다. I_λ -최적기준은 이분산 오차함수인 경우는 그 효율성이 뛰어남을 알 수 있었다. 그리고 G-최적성에 비해서 최적성의 확인절차가 간편할 뿐 아니라 가중치함수의 성질을 감안하면 오히려 등분산 G-최적과 동치인 D-최적이나 이분산 G-최적보다는 이분산오차함수인 경우에는 실험기준이 더 유용하다고 볼 수 있다.

참고문헌

- [1] 김영일 (1993). 단순선형회귀와 이차형식을 중심으로 D-와 G-최적에 비교한 I_λ -최적실험기준의 특성, 『한국품질관리학회지』, 21권 2호, 140-155.
- [2] Atwood, C.L. (1969). Optimal and Efficient Design of Experiments, *Annals of Mathematical Statistics*, Vol. 40, 1570-1602.
- [3] Cook, R.D. and Nachtsheim, C.J. (1982). Model Robust, Linear-Optimal Designs, *Technometrics*, Vol. 24, 49-54.
- [4] Fedorov, V.V. (1972). *Theory of Optimal Experiments*, New York, Academic Press.
- [5] Kiefer, J. (1975). Optimal Design: Variation in Structure and Performance under Change of Criterion, *Biometrika*, Vol. 62, 277-288.
- [6] Wong, W.K. and Cook, R.D. (1992). *Heteroscedastic G-optimal Designs*, Technical Manuscript, Dept. of Bio-Statistics, University of California, Los Angeles.